

การวิเคราะห์แบบรกรีเฟกเตอร์ของสารประกอบเริ่มต้นแก๊สเลี่ยมอาร์เซไนด์
ในช่วง 1.3 ไมโครเมตร

นาย หัสดินทร์ โสศานบรรลุ

ศูนย์วิทยทรัพยากร
อุบลราชธานีมหาวิทยาลัย
วิทยานิพนธ์นี้เป็นส่วนหนึ่งของการศึกษาตามหลักสูตรปริญญาวิศวกรรมศาสตรมหาบัณฑิต
สาขาวิศวกรรมไฟฟ้า ภาควิชาฯวิศวกรรมไฟฟ้า
คณะวิศวกรรมศาสตร์ จุฬาลงกรณ์มหาวิทยาลัย
ปีการศึกษา 2547
ISBN 974-53-1412-9
ลิขสิทธิ์ของจุฬาลงกรณ์มหาวิทยาลัย

ANALYSIS OF GaAs-BASED COMPOUND BRAGG REFLECTOR
IN 1.3 μm RANGES

Mr. Hassanet Sodabanlu

ศูนย์วิทยบรังษยการ
จุฬาลงกรณ์มหาวิทยาลัย

A Thesis Submitted in Partial Fulfillment of the Requirements
for the Degree of Master of Engineering in Electrical Engineering

Department of Electrical Engineering

Faculty of Engineering

Chulalongkorn University

Academic Year 2004

ISBN 974-53-1412-9

หัวข้อวิทยานิพนธ์ การวิเคราะห์แบบกรีเฟกเตอร์ของสารประกอบเริ่มต้นแก๊สเดี่ยมอาร์เซไนค์ในช่วง 1.3 ไมโครเมตร
โดย นายทัศนศรี โสดาบรรลุ
สาขาวิชา วิศวกรรมไฟฟ้า
อาจารย์ที่ปรึกษา รองศาสตราจารย์ ดร.สมชัย รัตนธรรมพันธ์

คณะกรรมการค่าครองใช้จ่าย อนุมัติให้นับวิทยานิพนธ์ฉบับนี้เป็นส่วนหนึ่งของการศึกษาตามหลักสูตรปริญญามหาบัณฑิต

 คณบดี คณะวิศวกรรมศาสตร์

(ศาสตราจารย์ ดร.ดิเรก ลาวัลย์ศิริ)

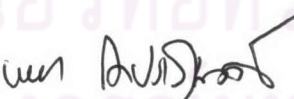
คณะกรรมการสอบวิทยานิพนธ์

 ประธานกรรมการสอบ

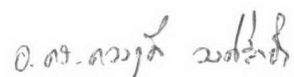
(ศาสตราจารย์ ดร.สมศักดิ์ ปัญญาแก้ว)

 อาจารย์ที่ปรึกษา

(รองศาสตราจารย์ ดร.สมชัย รัตนธรรมพันธ์)

 กรรมการ

(รองศาสตราจารย์ ดร.บรรยง โตประเสริฐพงศ์)

 กรรมการ

(ดร.ดวงฤทธิ์ วงศ์คำชา)

ห้าสเนคร์ โสดาบารรุ : การวิเคราะห์แบบกรีเฟกเตอร์ของสารประกอบเริ่มต้นแกลเลี่ยน อาร์เชไนค์ในช่วง 1.3 ไมโครเมตร (ANALYSIS OF GaAs-BASED COMPOUND BRAGG REFLECTOR IN 1.3 μm RANGES) อ. ที่ปรึกษา : รศ. ดร.สมชัย รัตนธรรม พันธ์, จำนวนหน้า 89 หน้า. ISBN 974-53-1412-9.

วิทยานิพนธ์นี้เป็นการศึกษาและวิเคราะห์คุณสมบัติทางแสงของโครงสร้างแบบกรีเฟก เตอร์ของสารประกอบกลุ่ม GaAs/GaAlAs ด้วยวิธีโปรป้าเกชันเมตริกซ์ โดยโครงสร้างแบบกรีเฟก เตอร์ในงานวิจัยนี้ได้แก่ โครงสร้างแบบสม่ำเสมอ โครงสร้างแบบสม่ำเสมอที่มีชั้นเฟสเลื่อนอยู่ที่ ด้านหน้า โครงสร้างแบบสม่ำเสมอที่มีชั้นเฟสเลื่อนแทรกคั่น และโครงสร้างแบบไม่สม่ำเสมอ โดยทุกโครงสร้างกำหนดให้มีค่าความยาวคลื่นแบบร 1.3 μm ซึ่งผลที่ได้จากการวิเคราะห์แสดงให้เห็น ว่าค่าความความกว้างของແບບหยุด (Band stop) มีค่ามากขึ้นเมื่อผลต่างของค่าดัชนีหักเหมือนมาก ขึ้น และค่าการสะท้อนมีค่าเพิ่มขึ้นเมื่อจำนวนคู่มีค่ามากขึ้นสำหรับกรณีของโครงสร้างแบบ สม่ำเสมอ โดยมีค่าการสะท้อนสูงสุดที่ในย่านค่าความยาวคลื่นแบบร 1.3 μm ในกรณีโครงสร้างแบบสม่ำเสมอที่มีชั้นเฟสเลื่อนอยู่ที่ด้านหน้านั้นค่า ความหมายของชั้นเฟสเลื่อนทำให้สเปกตรัมการสะท้อนมีลักษณะไม่สมมาตรและลักษณะการเลื่อน ของสเปกตรัมนี้เป็นรายคาบในทุกช่วง 0.5 λ สำหรับโครงสร้างแบบไม่สม่ำเสมอแบบสมมาตร นั้นสเปกตรัมการสะท้อนที่ได้มีลักษณะไม่สมมาตร แต่สำหรับโครงสร้างแบบไม่สม่ำเสมอแบบ สมมาตรนั้นสเปกตรัมการสะท้อนที่ได้มีลักษณะสมมาตร โดยมีลักษณะของสเปกตรัมนี้ เป็นແບບหยุดที่มีค่าความยาวคลื่นแบบรเป็นศูนย์กลาง

ศูนย์วิทยทรัพยากร จุฬาลงกรณ์มหาวิทยาลัย

ภาควิชา วิศวกรรมไฟฟ้า ลายมือชื่อนิสิต นิตยา [*กิตติพงษ์*]
สาขาวิชา วิศวกรรมไฟฟ้า ลายมือชื่ออาจารย์ที่ปรึกษา *สมชาย*,
ปีการศึกษา 2547 .

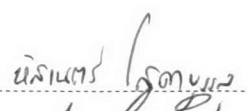
4670579221 : MAJOR ELECTRICAL ENGINEERING

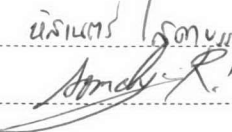
KEY WORD : GaAs, GaAlAs, BRAGG REFLECTOR, DOUBLE BRAGG REFLECTOR, PHASE-SHIFTED LAYER, CHIRPED RUGATE

HASSANET SODABANLU : ANALYSIS OF GaAs-BASED COMPOUND BRAGG REFLECTOR IN 1.3 μm RANGES. THESIS ADVISOR : ASSOC. PROF. SOMCHAI RATANATHAMPAN, D. Eng., pp. 89 ISBN 974-53-1412-9.

This thesis investigates and analyzes the optical characteristics of GaAs/GaAlAs or GaAs-based compounds Bragg reflectors. The Bragg structures in this work are uniform Bragg reflectors, uniform Bragg reflectors with the front phase-shifted layer, double Bragg reflectors with separator of phase-shifted layer, asymmetry non-uniform Bragg reflectors and symmetry non-uniform Bragg reflectors. All the structures have Bragg wavelength at 1.3 μm . The results of analysis show that the reflectivity depends on the different of refractive index between high-index layer and low-index layer and the number of pairs. The stop-band spacing depends on the different of refractive index between high-index layer and low-index layer. The maximum reflectivity of each structure occurs at Bragg wavelength. The uniform Bragg reflectors with the front phase-shifted layer have asymmetrical reflectivity spectrum which replies with the period of 0.5 λ . The asymmetry non-uniform Bragg reflectors have asymmetrical reflectivity spectrum but the others which are symmetry have symmetrical reflectivity spectrum. This spectrum is a band stop which has a center at the Bragg wavelength.

ศูนย์วิทยบรังษยการ จุฬาลงกรณ์มหาวิทยาลัย

Department Electrical Engineering Student's signature 

Field of study Electrical Engineering Advisor's signature 

Academic year 2004

กิตติกรรมประกาศ

วิทยานิพนธ์ฉบับนี้ได้รับการสนับสนุนด้านอุปกรณ์ โปรแกรมคำนวณ และคอมพิวเตอร์ จากห้องปฏิบัติการวิจัยสิ่งประดิษฐ์สารกึ่งตัวนำ ภาควิชาวิศวกรรมไฟฟ้า จุฬาลงกรณ์มหาวิทยาลัย

ผู้วิจัยขอขอบพระคุณ ศ.ดร.สมชัย รัตนธรรมพันธ์ อาจารย์ที่ปรึกษาวิทยานิพนธ์ ที่ให้ความกรุณาให้คำแนะนำต่างๆที่มีค่าอ่อนโยนอย่างต่อเนื่องทุกขั้นตอน ตั้งแต่เริ่มต้นการทำวิทยานิพนธ์ จนวิทยานิพนธ์เสร็จสมบูรณ์

ผู้เขียนวิทยานิพนธ์ ขอขอบพระคุณคณะกรรมการสอบวิทยานิพนธ์ทุกท่าน อันประกอบด้วย ศ.ดร.สมศักดิ์ ปัญญาแก้ว ศ.ดร.บรรยง โตประเสริฐพงศ์ ศ.ดร.สมชัย รัตนธรรมพันธ์ และ ดร.ดวงฤทธิ์ วงศ์ล้ำชา

ผู้วิจัยขอขอบคุณคุณบัณฑิตา รัฐวิเศษ คุณศุภโชค ไหหน้อบ คุณพรชัย ช่างม่วง คุณพัฒนา พันธุวงศ์ คุณขวัญเรือน ไหหน้อบ และเจ้าหน้าที่ทุกท่านที่ให้ความช่วยเหลือทางด้านเทคนิคและงานทางด้านธุรการต่างๆ

ขอขอบคุณคุณวิภากร จิวะสุวรรณและนิสิตปริญญาเอก โท ตรี ทุกท่าน ในห้องปฏิบัติการวิจัยสิ่งประดิษฐ์สารกึ่งตัวนำ ที่ได้ความช่วยเหลือ และคำแนะนำต่างๆ ด้วยความเต็มใจ

สุดท้ายนี้ผู้วิจัยขอรบกวนคุณบิรา บิรา บิรา และบุคคลรอบข้างทุกท่านที่ให้ความห่วงใย และเป็นกำลังใจ ในการทำวิจัย และเขียนวิทยานิพนธ์ฉบับนี้ จนกระทั่งสำเร็จลุล่วงไปได้ด้วยดี คุณประโลยชนอันจะเกิดจากผลงานวิจัยในครั้งนี้ ผู้วิจัยขอขอบคุณเป็นเครื่องนุชาระคุณบุรพาหารย์ตลอดจนคุณบิราที่ได้มีส่วนช่วยงานรากฐานการศึกษาแก่ผู้วิจัย

ศูนย์วิทยทรัพยากร
จุฬาลงกรณ์มหาวิทยาลัย

สารบัญ

หน้า

บทคัดย่อภาษาไทย	๑
บทคัดย่อภาษาอังกฤษ	๒
กิตติกรรมประกาศ	๓
สารบัญ	๔
สารบัญตาราง	๕
สารบัญภาพ	๖
คำอธิบายสัญลักษณ์	๗
1. บทนำ	๑
2. ทฤษฎี	๓
2.1 แบนกรีเฟกเตอร์	๓
2.2 คัชนีหักเหของตัวกลาง	๔
2.3 การสะท้อนของคลื่นระนาบจากตัวกลางที่เป็นชั้น	๕
2.3.1 โพลาไรเซชันแบบ TE	๕
2.3.2 โพลาไรเซชันแบบ TM	๗
2.3.3 การวิเคราะห์โพราเพ็กชั่นเมทริกซ์ (Propagation matrix approach) สำหรับการสะท้อนของคลื่นระนาบจากตัวกลางหลายชั้น	๗
3. แบบจำลองในการคำนวณ	๑๐
4. ผลคำนวณและการวิเคราะห์ผล	๑๓
4.1 ค่าการสะท้อนของแบนกรีเฟกเตอร์โครงสร้างสมมาตร GaAs/GaAlAs บนแผ่นฐาน GaAs	๑๓
4.2 ค่าการสะท้อนของแบนกรีเฟกเตอร์โครงสร้างสมมาตร GaAs/GaAlAs บนแผ่นฐาน GaAs ที่มีชั้นเลื่อนเฟส (phase-shifted layer)	๒๓

4.3 คำนวณค่าการสะท้อนของแบรกรีเฟกเตอร์คู่ GaAs/GaAlAs โครงสร้างสม่ำเสมอ โดยมีชั้นเลื่อนเฟส GaAs หรือ GaAlAs ความหนาต่างๆ กันคือ $\frac{\lambda_0}{10}, \frac{\lambda_0}{5}, \frac{\lambda_0}{4}, \frac{\lambda_0}{2}, \frac{3\lambda_0}{4}$ และ λ_0 แทรกคั่น	26
4.3.1 โครงสร้างแบรกรีเฟกเตอร์คู่ GaAs/GaAlAs ที่มีชั้น GaAs เป็นชั้นแทรกคั่น	26
4.3.2 โครงสร้างแบรกรีเฟกเตอร์คู่ GaAs/GaAlAs ที่มีชั้น GaAlAs เป็นชั้นแทรกคั่น	33
4.4 คำนวณค่าการสะท้อนของแบรกรีเฟกเตอร์ GaAs/GaAlAs โครงสร้างไม่สม่ำเสมอ บนแผ่นฐาน GaAs ที่มีค่าสัดส่วนของ Al ใน GaAlAs เท่ากับตอลดทั้งโครงสร้าง	37
4.4.1 อัตราส่วน $d_H : d_L$ เพิ่มจาก 0.1 เป็น 1	38
4.4.2 อัตราส่วน $d_H : d_L$ ลดลงจาก 1 เป็น 0.1	43
4.4.3 อัตราส่วน $d_H : d_L$ เพิ่มจาก 0.1 เป็น 1 และลดลงเหลือ 0.1	48
4.4.4 อัตราส่วน $d_H : d_L$ เพิ่มจาก 0.1 เป็น 1 และลดลงเหลือ 0.1 แบบไม่เป็นเชิงเส้น	54
4.5 คำนวณค่าการสะท้อนของแบรกรีเฟกเตอร์ $Ga_xAl_{1-x}As/Ga_yAl_{1-y}As$ โครงสร้าง ไม่สม่ำเสมอบนแผ่นฐาน GaAs ที่ค่าสัดส่วนของ Al ใน GaAlAs มีการเปลี่ยนแปลง ตลอดทั้งโครงสร้าง	60
5. การคำนวณค่าการสะท้อนของแบรกรีเฟกเตอร์ $InAlAs/(In_{0.52}Al_{0.48})_x(In_{0.52}Ga_{0.48})_{1-x}As$	64
6. การคำนวณเปรียบเทียบกับโปรแกรมอื่นๆ และผลจากการทดลอง	70
6.1 โครงสร้างสม่ำเสมอ GaAs/GaAlAs และ GaAlAs/AlAs บนแผ่นฐาน GaAs	70
6.2 โครงสร้างสม่ำเสมอ GaAs/GaAlAs บนแผ่นฐาน GaAs ที่มีชั้นเลื่อนเฟส	75
6.3 โครงสร้างแบรกรีเฟกเตอร์คู่ GaAs/GaAlAs โดยมีชั้นเลื่อนเฟส GaAs หรือ GaAlAs ความหนาต่างๆ กันคั่นกลาง	76
6.4 โครงสร้างไม่สม่ำเสมอ GaAs/GaAlAs บนแผ่นฐาน GaAs ที่มีค่าสัดส่วนของ Al ใน GaAlAs เท่ากับตอลดทั้งโครงสร้าง	77
6.5 โครงสร้างไม่สม่ำเสมอ $Ga_xAl_{1-x}As/Ga_yAl_{1-y}As$ ที่ค่าสัดส่วนของ Al ใน GaAlAs มีการเปลี่ยนแปลงตลอดทั้งโครงสร้าง	80

6.6 ผลเปรียบเทียบกับการวัดการสะท้อนจากแบนกรีเฟกเตอร์ GaAs/AlAs จำนวน 25 คู่ 81



ศูนย์วิทยทรัพยากร จุฬาลงกรณ์มหาวิทยาลัย

สารบัญตาราง

ตารางที่

หน้า

2.1 สัมประสิทธิ์ของสมการ Sellmeier สำหรับ InP, GaAs และ InAlGaAs	4
--	---



สารบัญภาพ

รูปที่

หน้า

1.1 แผนภาพโครงสร้าง VSCELS ที่มีแบตเตอรี่เป็นส่วนประกอบ	1
2.1 โครงสร้างแบตเตอรี่ไฟกเตอร์พื้นฐานจำนวน N คู่	3
2.2 (ก) คลื่นระนาบสะท้อนจากผิวระนาบ	
(ข) รูปแบบ phase-matching สำหรับคลื่นสะท้อนและส่งผ่าน	5
2.3 คลื่นระนาบที่มีโพลาไรเซชั่นแบบ TE $\mathbf{E} = \hat{\mathbf{y}} E_y = \hat{\mathbf{y}} E_0 e^{-ik_0 x + ik_0 z}$ ผลกระทบบนตัวกลางหลายชั้น	8
3.1 ดัชนีหักเหของ GaAs, GaAlAs และ AlAs	10
3.2 แผนภูมิสายงานแสดงการคำนวณของโปรแกรมที่เขียนขึ้นในงานวิทยานิพนธ์	12
4.1 โครงสร้างแบตเตอรี่ไฟกเตอร์ GaAs/GaAlAs ที่ใช้ในการคำนวณ	13
4.2 ค่าการสะท้อนของแบตเตอรี่ไฟกเตอร์ GaAs/GaAlAs จำนวน 10, 20, 30 และ 40 คู่ ที่มีค่าสัดส่วนของ Al ใน GaAlAs: (ก) 0.25, (ข) 0.50, (ค) 0.75 และ (ง) 1.00	14
4.2 (ต่อ) ค่าการสะท้อนของแบตเตอรี่ไฟกเตอร์ GaAs/GaAlAs จำนวน 10, 20, 30 และ 40 คู่ ที่มีค่าสัดส่วนของ Al ใน GaAlAs: (ก) 0.25, (ข) 0.50, (ค) 0.75 และ (ง) 1.00	15
4.3 ค่าการสะท้อนของ GaAs/GaAlAs ที่มีค่าสัดส่วน $X_{Al} = 0.25, 0.50, 0.75$ และ 1.00 โดยมีจำนวนคู่ (ก) 10 คู่, (ข) 20 คู่, (ค) 30 คู่ และ (ง) 40 คู่	16
4.3 (ต่อ) ค่าการสะท้อนของ GaAs/GaAlAs ที่มีค่าสัดส่วน $X_{Al} = 0.25, 0.50, 0.75$ และ 1.00 โดยมีจำนวนคู่ (ก) 10 คู่, (ข) 20 คู่, (ค) 30 คู่ และ (ง) 40 คู่	17
4.4 ความสัมพันธ์ของค่าการสะท้อนกับจำนวนคู่ GaAs/GaAlAs และค่าสัดส่วน Al	18
4.5 แบตเตอรี่ไฟกเตอร์โครงสร้าง GaAlAs/AlAs บนแผ่นฐาน GaAs	19
4.6 ค่าการสะท้อนของแบตเตอรี่ไฟกเตอร์ GaAlAs/AlAs จำนวน 10, 20, 30 และ 40 คู่ ที่มีค่าสัดส่วนของ Al ใน GaAlAs: (ก) 0.25, (ข) 0.50 และ (ค) 0.75	19
4.6 (ต่อ) ค่าการสะท้อนของแบตเตอรี่ไฟกเตอร์ GaAlAs/AlAs จำนวน 10, 20, 30 และ 40 คู่ ที่มีค่าสัดส่วนของ Al ใน GaAlAs: (ก) 0.25, (ข) 0.50 และ (ค) 0.75	20
4.7 ค่าการสะท้อนของ GaAlAs/AlAs ที่มีค่าสัดส่วน $X_{Al}=0.25, 0.50$ และ 0.75 โดยมีจำนวนคู่ (ก) 10 คู่, (ข) 20 คู่, (ค) 30 คู่ และ (ง) 40 คู่	21
4.7 (ต่อ) ค่าการสะท้อนของ GaAlAs/AlAs ที่มีค่าสัดส่วน $X_{Al}=0.25, 0.50$ และ 0.75 โดยมีจำนวนคู่ (ก) 10 คู่, (ข) 20 คู่, (ค) 30 คู่ และ (ง) 40 คู่	22

4.8 ความสัมพันธ์ของค่าการสะท้อนกับจำนวนคู่ GaAlAs/AlAs และค่าสัดส่วน Al	23
4.9 โครงสร้างเบրกรีเฟกเตอร์ GaAs/GaAlAs ที่มีชั้นเลื่อนเฟส	24
4.10 ค่าการสะท้อนที่มีชั้นเลื่อนเฟสความหนาต่างๆ เปรียบเทียบกับที่ $\frac{\lambda_0}{4}$	
(ก) ความหนา $\frac{\lambda_0}{10}, \frac{\lambda_0}{5}$ และ $\frac{3\lambda_0}{4}$ (ข) ความหนา $0, \frac{\lambda_0}{2}$ และ λ_0	24
4.10 (ต่อ) ค่าการสะท้อนที่มีชั้นเลื่อนเฟสความหนาต่างๆ เปรียบเทียบกับที่ $\frac{\lambda_0}{4}$	
(ก) ความหนา $\frac{\lambda_0}{10}, \frac{\lambda_0}{5}$ และ $\frac{3\lambda_0}{4}$ (ข) ความหนา $0, \frac{\lambda_0}{2}$ และ λ_0	25
4.11 โครงสร้างเบรกรีเฟกเตอร์คู่ GaAs/GaAlAs	26
4.12 ค่าการสะท้อนของ GaAs/Ga _{0.50} Al _{0.50} As จำนวน 20 คู่ ที่มีความหนาของชั้นเลื่อนเฟส	
ต่างๆ เปรียบเทียบกับที่ $\frac{\lambda_0}{4}$ (ก) ความหนา $\frac{\lambda_0}{10}, \frac{\lambda_0}{5}$ และ $\frac{3\lambda_0}{4}$ (ข) ความหนา $\frac{\lambda_0}{2}$ และ λ_0	27
4.13 ค่าการสะท้อนของเบรกรีเฟกเตอร์คู่ GaAs/GaAlAs ที่มีความหนาของชั้นเลื่อนเฟสเป็น $\frac{\lambda_0}{2}$ เมื่อเปลี่ยนค่า N ₁ และ N ₂ โดยมีจำนวนทั้งหมด	
(ก) 20 คู่, (ข) 30 คู่, (ค) 40 คู่ และ (ง) 50 คู่	28
4.13 (ต่อ) ค่าการสะท้อนของเบรกรีเฟกเตอร์คู่ GaAs/GaAlAs ที่มีความหนาของชั้นเลื่อนเฟสเป็น $\frac{\lambda_0}{2}$ เมื่อเปลี่ยนค่า N ₁ และ N ₂ โดยมีจำนวนทั้งหมด	
(ก) 20 คู่, (ข) 30 คู่, (ค) 40 คู่ และ (ง) 50 คู่	29
4.13 (ต่อ) ค่าการสะท้อนของเบรกรีเฟกเตอร์คู่ GaAs/GaAlAs ที่มีความหนาของชั้นเลื่อนเฟสเป็น $\frac{\lambda_0}{2}$ เมื่อเปลี่ยนค่า N ₁ และ N ₂ โดยมีจำนวนทั้งหมด	
(ก) 20 คู่, (ข) 30 คู่, (ค) 40 คู่ และ (ง) 50 คู่	30
4.14 ค่าการสะท้อนของเบรกรีเฟกเตอร์คู่ GaAs/GaAlAs, ชั้นเลื่อนเฟส	
หนา $\frac{\lambda_0}{2}$ จำนวนคู่ N ₁ + N ₂ ต่างๆ กัน โดยมีค่าสัดส่วน Al ใน GaAlAs:	
(ก) X _{Al} = 0.25, (ข) X _{Al} = 0.50, (ค) X _{Al} = 0.75 และ (ง) X _{Al} = 1.00	31
4.14 (ต่อ) ค่าการสะท้อนของเบรกรีเฟกเตอร์คู่ GaAs/GaAlAs, ชั้นเลื่อนเฟส	
หนา $\frac{\lambda_0}{2}$ จำนวนคู่ N ₁ + N ₂ ต่างๆ กัน โดยมีค่าสัดส่วน Al ใน GaAlAs:	
(ก) X _{Al} = 0.25, (ข) X _{Al} = 0.50, (ค) X _{Al} = 0.75 และ (ง) X _{Al} = 1.00	32

4.15 ค่าการสะท้อนของ GaAs/Ga _{0.50} Al _{0.50} As 20 คู่ ที่มีความหนาของ GaAlAs ต่างๆ เทียบกับที่ $\frac{\lambda_0}{4}$ (ก) ความหนา $\frac{\lambda_0}{10}$, $\frac{\lambda_0}{5}$ และ $\frac{3\lambda_0}{4}$ (ข) ความหนา $\frac{\lambda_0}{2}$ และ λ_0	34
4.16 ค่าการสะท้อนของแบรกรีเฟกเตอร์คู่ GaAs/GaAlAs, ชั้นเดือนเพลส GaAlAs หนา $\frac{\lambda_0}{2}$ โดยทำการเปลี่ยนค่าสัดส่วน Al ใน ชั้นเดือนเพลส (ก) X _{Al} = 0.25, (ข) X _{Al} = 0.50, (ค) X _{Al} = 0.75 และ (ง) X _{Al} = 1.00	35
4.16 (ต่อ) ค่าการสะท้อนของแบรกรีเฟกเตอร์คู่ GaAs/GaAlAs, ชั้นเดือนเพลส GaAlAs หนา $\frac{\lambda_0}{2}$ โดยทำการเปลี่ยนค่าสัดส่วน Al ใน ชั้นเดือนเพลส (ก) X _{Al} = 0.25, (ข) X _{Al} = 0.50, (ค) X _{Al} = 0.75 และ (ง) X _{Al} = 1.00	36
4.17 (ก) โครงสร้าง และ (ข) กราฟการเปลี่ยนแปลง $d_H : d_L$	38
4.18 ค่าการสะท้อนของแบรกรีเฟกเตอร์ GaAs/GaAlAs โครงสร้างไม่สมมาตร $d_H : d_L$ เพิ่มจาก 0.1 เป็น 1 ค่าสัดส่วน Al เท่ากับ (ก) 0.25, (ข) 0.50, (ค) 0.75 และ (ง) 1.00	38
4.18 (ต่อ) ค่าการสะท้อนของแบรกรีเฟกเตอร์ GaAs/GaAlAs โครงสร้างไม่สมมาตร $d_H : d_L$ เพิ่มจาก 0.1 เป็น 1 ค่าสัดส่วน Al เท่ากับ (ก) 0.25, (ข) 0.50, (ค) 0.75 และ (ง) 1.00	39
4.18 (ต่อ) ค่าการสะท้อนของแบรกรีเฟกเตอร์ GaAs/GaAlAs โครงสร้างไม่สมมาตร $d_H : d_L$ เพิ่มจาก 0.1 เป็น 1 ค่าสัดส่วน Al เท่ากับ (ก) 0.25, (ข) 0.50, (ค) 0.75 และ (ง) 1.00	40
4.19 ค่าการสะท้อนของ GaAs/GaAlAs โครงสร้างไม่สมมาตร $d_H : d_L$ เพิ่มจาก 0.1 เป็น 1 โดยมีจำนวน (ก) 10 คู่, (ข) 20 คู่, (ค) 30 คู่ และ (ง) 40 คู่	40
4.19 (ต่อ) ค่าการสะท้อนของ GaAs/GaAlAs โครงสร้างไม่สมมาตร $d_H : d_L$ เพิ่มจาก 0.1 เป็น 1 โดยมีจำนวน (ก) 10 คู่, (ข) 20 คู่, (ค) 30 คู่ และ (ง) 40 คู่	41
4.19 (ต่อ) ค่าการสะท้อนของ GaAs/GaAlAs โครงสร้างไม่สมมาตร $d_H : d_L$ เพิ่มจาก 0.1 เป็น 1 โดยมีจำนวน (ก) 10 คู่, (ข) 20 คู่, (ค) 30 คู่ และ (ง) 40 คู่	42
4.20 ค่าการสะท้อนเมื่อ $d_H : d_L$ เพิ่มขึ้นจาก 0.1, 0.05 และ 0.01 ไปเป็น 1	43
4.21 (ก) โครงสร้าง และ (ข) กราฟการเปลี่ยนแปลง $d_H : d_L$	43
4.22 ค่าการสะท้อนของแบรกรีเฟกเตอร์ GaAs/GaAlAs โครงสร้างไม่สมมาตร $d_H : d_L$ ลดจาก 1 เป็น 0.1 ค่าสัดส่วน Al เท่ากับ (ก) 0.25, (ข) 0.50, (ค) 0.75 และ (ง) 1.00	44
4.22 (ต่อ) ค่าการสะท้อนของแบรกรีเฟกเตอร์ GaAs/GaAlAs โครงสร้างไม่สมมาตร $d_H : d_L$ ลดจาก 1 เป็น 0.1 ค่าสัดส่วน Al เท่ากับ (ก) 0.25, (ข) 0.50, (ค) 0.75 และ (ง) 1.00	45

4.23 ค่าการสะท้อนของ GaAs/GaAlAs โครงสร้างไม่สมมาตร $d_H : d_L$ ลดจาก 1 เป็น 0.1 โดยมีจำนวน (ก) 10 คู่, (ข) 20 คู่, (ค) 30 คู่ และ (ง) 40 คู่	46
4.23 (ต่อ) ค่าการสะท้อนของ GaAs/GaAlAs โครงสร้างไม่สมมาตร $d_H : d_L$ ลดจาก 1 เป็น 0.1 โดยมีจำนวน (ก) 10 คู่, (ข) 20 คู่, (ค) 30 คู่ และ (ง) 40 คู่	47
4.24 ค่าการสะท้อนเมื่อ $d_H : d_L$ ลดลงจาก 1 ไปเป็น 0.1, 0.05 และ 0.01	48
4.25 (ก) โครงสร้าง และ (ข) กราฟการเปลี่ยนแปลง $d_H : d_L$	49
4.26 ค่าการสะท้อนของแบรกรีเฟกเตอร์ GaAs/GaAlAs โครงสร้างไม่สมมาตร $d_H : d_L$ จาก 0.1 เป็น 1 และ 0.1 สัดส่วน Al เท่ากับ (ก) 0.25, (ข) 0.50, (ค) 0.75 และ (ง) 1.00	49
4.26 (ต่อ) ค่าการสะท้อนของแบรกรีเฟกเตอร์ GaAs/GaAlAs โครงสร้างไม่สมมาตร $d_H : d_L$ จาก 0.1 เป็น 1 และ 0.1 สัดส่วน Al เท่ากับ (ก) 0.25, (ข) 0.50, (ค) 0.75 และ (ง) 1.00	50
4.26 (ต่อ) ค่าการสะท้อนของแบรกรีเฟกเตอร์ GaAs/GaAlAs โครงสร้างไม่สมมาตร $d_H : d_L$ จาก 0.1 เป็น 1 และ 0.1 สัดส่วน Al เท่ากับ (ก) 0.25, (ข) 0.50, (ค) 0.75 และ (ง) 1.00	51
4.27 ค่าการสะท้อนของ GaAs/GaAlAs โครงสร้างไม่สมมาตร $d_H : d_L$ จาก 0.1 เป็น 1 และ 0.1 โดยมีจำนวน (ก) 10 คู่, (ข) 20 คู่, (ค) 30 คู่ และ (ง) 40 คู่	51
4.27 (ต่อ) ค่าการสะท้อนของ GaAs/GaAlAs โครงสร้างไม่สมมาตร $d_H : d_L$ จาก 0.1 เป็น 1 และ 0.1 โดยมีจำนวน (ก) 10 คู่, (ข) 20 คู่, (ค) 30 คู่ และ (ง) 40 คู่	52
4.27 (ต่อ) ค่าการสะท้อนของ GaAs/GaAlAs โครงสร้างไม่สมมาตร $d_H : d_L$ จาก 0.1 เป็น 1 และ 0.1 โดยมีจำนวน (ก) 10 คู่, (ข) 20 คู่, (ค) 30 คู่ และ (ง) 40 คู่	53
4.28 ค่าการสะท้อนเมื่อ $d_H : d_L$ เพิ่มจาก 0.1 เป็น 1 ลดเหลือ 0.1, เพิ่มจาก 0.05 เป็น 1 ลดเหลือ 0.05 และ เพิ่มจาก 0.01 เป็น 1 ลดเหลือ 0.01 แบบเชิงเส้น	54
4.29 (ก) โครงสร้าง และ (ข) กราฟการเปลี่ยนแปลง $d_H : d_L$	54
4.30 ค่าการสะท้อนของแบรกรีเฟกเตอร์ GaAs/GaAlAs โครงสร้างไม่สมมาตร $d_H : d_L$ จาก 0.1 เป็น 1 และ 0.1 สัดส่วน Al เท่ากับ (ก) 0.25, (ข) 0.50, (ค) 0.75 และ (ง) 1.00	55
4.30 (ต่อ) ค่าการสะท้อนของแบรกรีเฟกเตอร์ GaAs/GaAlAs โครงสร้างไม่สมมาตร $d_H : d_L$ จาก 0.1 เป็น 1 และ 0.1 สัดส่วน Al เท่ากับ (ก) 0.25, (ข) 0.50, (ค) 0.75 และ (ง) 1.00	56
4.31 ค่าการสะท้อนของ GaAs/GaAlAs โครงสร้างไม่สมมาตร $d_H : d_L$ จาก 0.1 เป็น 1 และ 0.1 โดยมีจำนวน (ก) 10 คู่, (ข) 20 คู่, (ค) 30 คู่ และ (ง) 40 คู่	57
4.31 (ต่อ) ค่าการสะท้อนของ GaAs/GaAlAs โครงสร้างไม่สมมาตร $d_H : d_L$ จาก 0.1 เป็น 1 และ 0.1 โดยมีจำนวน (ก) 10 คู่, (ข) 20 คู่, (ค) 30 คู่ และ (ง) 40 คู่	58

4.32 ค่าการสะท้อนเมื่อ $d_H : d_L$ เพิ่มจาก 0.1 เป็น 1 ลดเหลือ 0.1, เพิ่มจาก 0.05 เป็น 1 ลดเหลือ 0.05 และ เพิ่มจาก 0.01 เป็น 1 ลดเหลือ 0.01 แบบไม่เชิงเส้น	59
4.33 ค่าการสะท้อนของ $\text{GaAs}/\text{Ga}_{0.5}\text{Al}_{0.5}\text{As}$ จำนวน 20 คู่ ที่เป็นโครงสร้างสมมาตร และไม่สมมาตรแบบต่างๆ	60
4.34 การเปลี่ยนแปลงค่าดัชนีหักเหของ $\text{Ga}_x\text{Al}_{1-x}\text{As}/\text{Ga}_y\text{Al}_{1-y}\text{As}$ แต่ละคู่	61
4.35 ค่าการสะท้อนของโครงสร้างที่มีการเปลี่ยนแปลงดัชนีหักเหดังรูปที่ 4.34	62
4.36 ค่าการสะท้อนของโครงสร้าง $\text{GaAlAs}/\text{GaAlAs}$ และ GaAs/AlAs จำนวน 20 คู่	62
5.1 แบรกรีเฟกเตอร์ $\text{InAlAs}/(\text{In}_{0.52}\text{Al}_{0.48})_x(\text{In}_{0.52}\text{Ga}_{0.48})_{1-x}\text{As}$ บนแผ่นฐาน InAlAs	64
5.2 ค่าดัชนีหักเหของ $\text{InAlAs}/(\text{In}_{0.52}\text{Al}_{0.48})_x(\text{In}_{0.52}\text{Ga}_{0.48})_{1-x}\text{As}$ ที่ค่า X ต่างๆ กัน	64
5.3 ค่าการสะท้อนของแบรกรีเฟกเตอร์จำนวน 10, 20, 30 และ 40 คู่ ที่ค่าสัดส่วนของ $\text{In}_{0.52}\text{Al}_{0.48}\text{As}$ เท่ากับ (ก) 0.25, (ข) 0.50 และ (ค) 0.75	65
5.3 (ต่อ) ค่าการสะท้อนของแบรกรีเฟกเตอร์จำนวน 10, 20, 30 และ 40 คู่ ที่ค่าสัดส่วนของ $\text{In}_{0.52}\text{Al}_{0.48}\text{As}$ เท่ากับ (ก) 0.25, (ข) 0.50 และ (ค) 0.75	66
5.4 ค่าการสะท้อนของ $\text{InAlAs}/(\text{In}_{0.52}\text{Al}_{0.48})_x(\text{In}_{0.52}\text{Ga}_{0.48})_{1-x}\text{As}$ ที่มีสัดส่วน $\text{In}_{0.52}\text{Al}_{0.48}\text{As}$ เท่ากับ 0.25, 0.50 และ 0.75 โดยมีจำนวน (ก) 10 คู่, (ข) 20 คู่, (ค) 30 คู่ และ (ง) 40 คู่	66
5.4 (ต่อ) ค่าการสะท้อนของ $\text{InAlAs}/(\text{In}_{0.52}\text{Al}_{0.48})_x(\text{In}_{0.52}\text{Ga}_{0.48})_{1-x}\text{As}$ ที่มีสัดส่วน $\text{In}_{0.52}\text{Al}_{0.48}\text{As}$ เท่ากับ 0.25, 0.50 และ 0.75 โดยมีจำนวน (ก) 10 คู่, (ข) 20 คู่, (ค) 30 คู่ และ (ง) 40 คู่	67
5.4 (ต่อ) ค่าการสะท้อนของ $\text{InAlAs}/(\text{In}_{0.52}\text{Al}_{0.48})_x(\text{In}_{0.52}\text{Ga}_{0.48})_{1-x}\text{As}$ ที่มีสัดส่วน $\text{In}_{0.52}\text{Al}_{0.48}\text{As}$ เท่ากับ 0.25, 0.50 และ 0.75 โดยมีจำนวน (ก) 10 คู่, (ข) 20 คู่, (ค) 30 คู่ และ (ง) 40 คู่	68
5.5 กราฟความสัมพันธ์ของค่าการสะท้อนที่ความยาวคลื่นใช้งาน และจำนวนคู่ของ $\text{GaAs}/\text{Ga}_{0.50}\text{Al}_{0.50}\text{As}$, $\text{Ga}_{0.50}\text{Al}_{0.50}\text{As}/\text{AlAs}$, $\text{InAlAs}/(\text{In}_{0.52}\text{Al}_{0.48})_{0.50}(\text{In}_{0.52}\text{Ga}_{0.48})_{0.50}\text{As}$	69
6.1 ตัวอย่างผลการคำนวณด้วยโปรแกรม Brproject® ของ Marek Wesolowski ที่นำมาใช้คำนวณเปรียบเทียบ	70
6.2 ผลการคำนวณเมื่อให้ดัชนีหักเหคงที่เท่ากับ $n(\lambda_0)$	71
6.3 ผลการคำนวณเปรียบเทียบโครงสร้าง $\text{GaAs}/\text{GaAlAs}$ แบบสมมาตร	71
6.3 (ต่อ) ผลการคำนวณเปรียบเทียบโครงสร้าง $\text{GaAs}/\text{GaAlAs}$ แบบสมมาตร	72
6.3 (ต่อ) ผลการคำนวณเปรียบเทียบโครงสร้าง $\text{GaAs}/\text{GaAlAs}$ แบบสมมาตร	73
6.4 ผลการคำนวณเปรียบเทียบโครงสร้าง $\text{GaAlAs}/\text{AlAs}$ แบบสมมาตร	73
6.4 (ต่อ) ผลการคำนวณเปรียบเทียบโครงสร้าง $\text{GaAlAs}/\text{AlAs}$ แบบสมมาตร	74

6.4 (ต่อ) ผลการคำนวณเปรียบเทียบโครงสร้าง GaAlAs/AlAs แบบสม่ำเสมอ	75
6.5 ผลการคำนวณเปรียบเทียบโครงสร้าง GaAs/GaAlAs แบบสม่ำเสมอที่มีชั้นเลื่อนเฟส	75
6.5 (ต่อ) ผลการคำนวณเปรียบเทียบโครงสร้าง GaAs/GaAlAs แบบสม่ำเสมอที่มีชั้นเลื่อนเฟส	76
6.6 ผลการคำนวณเปรียบเทียบโครงสร้างแบรรีเฟกเตอร์คู่ GaAs/GaAlAs	77
6.7 ผลการคำนวณเปรียบเทียบโครงสร้าง GaAs/GaAlAs แบบไม่สม่ำเสมอ $d_H : d_L = 0.1 - 1$	78
6.8 ผลการคำนวณเปรียบเทียบโครงสร้าง GaAs/GaAlAs แบบไม่สม่ำเสมอ $d_H : d_L = 1 - 0.1$	78
6.8 (ต่อ) ผลการคำนวณเปรียบเทียบโครงสร้าง GaAs/GaAlAs แบบไม่สม่ำเสมอ $d_H : d_L = 1 - 0.1$	79
6.9 ผลการเปรียบเทียบโครงสร้างไม่สม่ำเสมอ GaAs/GaAlAs $d_H : d_L = 0.1 - 1 - 0.1$ แบบเชิงเส้น	79
6.10 ผลการเปรียบเทียบโครงสร้างไม่สม่ำเสมอ GaAs/GaAlAs $d_H : d_L = 0.1 - 1 - 0.1$ แบบไม่เชิงเส้น	80
6.11 ผลการเปรียบเทียบโครงสร้างไม่สม่ำเสมอ $\text{Ga}_x\text{Al}_{1-x}\text{As}/\text{Ga}_y\text{Al}_{1-y}\text{As}$	81
6.12 ค่าการสะท้อนของแบรรีเฟกเตอร์ GaAs/AlAs 25 คู่ ที่ได้จากการทดลอง	82
6.13 ค่าการสะท้อนของแบรรีเฟกเตอร์ GaAs/AlAs 25 คู่ ที่ได้จากการคำนวณ	82
6.14 ค่าการสะท้อนของแบรรีเฟกเตอร์ GaAs/AlAs 25 คู่ ที่ได้จากการทดลอง (เส้นสีดำ) และจากการคำนวณ (เส้นสีนำเงิน)	83

ศูนย์วิทยทรัพยากร จุฬาลงกรณ์มหาวิทยาลัย

คำอธิบายสัญลักษณ์

$\bar{\bar{B}}_{\ell(\ell+1)}$	backward-propagation matrix	
d_H	ความหนาของชั้นสารกึ่งตัวนำที่มีดัชนีหักเหสูง	(nm)
d_L	ความหนาของชั้นสารกึ่งตัวนำที่มีดัชนีหักเหต่ำ	(nm)
E	เวกเตอร์สนามไฟฟ้า	(V/m)
E_i	เวกเตอร์สนามไฟฟ้าตอกกระทนบ	(V/m)
E_r	เวกเตอร์สนามไฟฟ้าสะท้อน	(V/m)
E_t	เวกเตอร์สนามไฟฟ้าส่งผ่าน	(V/m)
ϵ	permittivity ของสารกึ่งตัวนำ	(C ² /Nm ²)
H_i	เวกเตอร์สนามแม่เหล็กตอกกระทนบ	(A/m)
H_r	เวกเตอร์สนามแม่เหล็กสะท้อน	(A/m)
H_t	เวกเตอร์สนามแม่เหล็กส่งผ่าน	(A/m)
λ	ความยาวคลื่น	(μm)
λ_0	ความยาวคลื่นใช้งาน	(μm)
μ	permeability ของสารกึ่งตัวนำ	(Wb/Am)
n	ดัชนีหักเหของสารกึ่งตัวนำ	
n_H	ดัชนีหักเหของสารกึ่งตัวนำที่มีค่าสูงในคู่เบรกริเฟกเตอร์	
n_L	ดัชนีหักเหของสารกึ่งตัวนำที่มีค่าต่ำในคู่เบรกริเฟกเตอร์	
ϕ	ความหนาของชั้นเลื่อนเฟส	(nm)
R	ค่าการสะท้อน	
r	สัมประสิทธิ์การสะท้อน	
t	สัมประสิทธิ์การส่งผ่าน	